



**UNIVERSIDADE FEDERAL DO CEARÁ**  
**CENTRO DE TECNOLOGIA**  
**DEPARTAMENTO DE ENGENHARIA DE TELEINFORMÁTICA**  
**SEMESTRE 2023.2**

**Trabalho sobre Diferenças Finitas**

**ALUNO: João Vitor de Oliveira Fraga**

**MATRÍCULA: 537377**

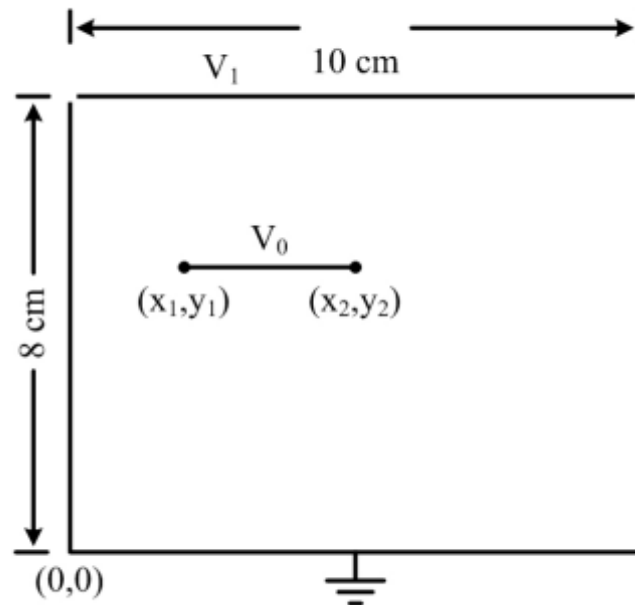
**CURSO: Engenharia de Telecomunicações**

**PROFESSOR: Sergio Antenor de Carvalho**

### QUESTÃO N° 1

Para a geometria definida na figura calcule a distribuição de potencial e o campo elétrico na estrutura. Plote a distribuição de potencial e a direção do campo elétrico. Analise os resultados mostrando quais regiões temos o campo elétrico mais intenso. Use o método das diferenças finitas: o iterativo e o da matriz banda. Plote a distribuição de cargas na estrutura e a partir desta distribuição calcule a distribuição de potencial e campo elétrico (a sua direção) em torno da estrutura numa grade quadrada de  $20\text{cm}$  de lado.

Figura 1: Geometria para o cálculo da distribuição de potencial e campo elétrico



Fonte: Sergio Antenor.

**Resposta:** Para essa questão, o professor incluiu os valores usados de  $V_1$ ,  $V_0$ ,  $x_1$ ,  $y_1$ ,  $x_2$  e  $y_2$ . No meu caso eu fui o aluno 19, e minhas especificações para a questão foram:

- $V_1 = 10V$
- $V_0 = 6V$
- $(x_1, y_1) = (2\text{cm}, 7\text{cm})$
- $(x_2, y_2) = (4\text{cm}, 7\text{cm})$

Com essas informações conseguimos então entender que o a nossa linha com o valor de  $V_0$  será um linha reta, facilitando assim o desenrolar da questão.

Para resolver a questão foi pedido que fosse usado o Método das Diferenças Finitas: Iterativo e Matriz Banda. Dito isto, iremos começar com os resultados do método iterativo que se mostrou mais fácil de fazer.

### Método das Diferenças Finitas Iterativo

Temos o seguinte código:

```
1 L = 10;
2 discretizacao = 100;
3 V1 = 10; % Para a primeira linha
4 V0 = 6; % De (2, 7) até (4, 7)
5 U = zeros(80, discretizacao); % Matriz 80x100
6 U(80, 1:100) = V1; % Potencial de 10 V na borda superior
7 U(70, 20:40) = V0;
8
9 % Loop para calcular o potencial
10 for k = 1:10000
11     for i = 2:79
12         for j = 2:99
13             if U(i, j) == V1 || U(i, j) == V0 % Mantém o potencial nas
14                 bordas e na linha
15                     continue;
16                 end
17                 U(i, j) = (U(i - 1, j) + U(i + 1, j) + U(i, j - 1) + U(i, j
18                     + 1)) / 4;
19             end
20         end
21     end
22 surf(U); shading interp; colorbar;
23 xlabel('Eixo X (mm)');
24 ylabel('Eixo Y (mm)');
25 zlabel('Potencial (V)');
26 title('Distribuição de Potencial na Caixa');
27 %%
```

```

26 [Ex,Ey]=gradient(-U);
27 epi = 8.85e-12;
28 % Calcula a divergência do campo elétrico
29 [divEx, ~] = gradient(Ex);
30 [~, divEy] = gradient(Ey);
31 divE = abs(divEx) + abs(divEy);
32 % Calcula a densidade de carga
33 rho = epi .* divE;
34 % Visualização da distribuição de carga
35 figure;
36 surf(rho); shading interp; colorbar;
37 xlabel('Eixo X (mm)');
38 ylabel('Eixo Y (mm)');
39 zlabel('\rho');
40 title('Distribuição de Carga na Caixa');
41 % Visualização alternativa da distribuição de carga
42 figure;
43 imagesc(rho); colormap('jet'); colorbar;
44 title('Distribuição de Carga na Caixa');
45 xlabel('Eixo X (mm)');
46 ylabel('Eixo Y (mm)');
47 figure, contour(U, 'LineWidth',2);
48 hold on, quiver(Ex,Ey,4), hold off
49 axis tight;
50 xlabel('Eixo X (mm)');
51 ylabel('Eixo Y (mm)');
52 title('Campo Elétrico na Estrutura')
53 %%
54 dx = 0.5;
55 dy = 0.5;
56 % Define a região de interesse fora da caixa
57 x_f = [-20, 80]; % Limites em x
58 y_f = [-20, 80]; % Limites em y
59
60 % Cria uma grade para calcular o potencial fora da caixa
61 [X, Y] = meshgrid(min(x_f):dx:max(x_f), min(y_f):dy:max(y_f));
62 V_exterior = zeros(size(X)); % Inicializa a matriz de potencial exterior

```

```

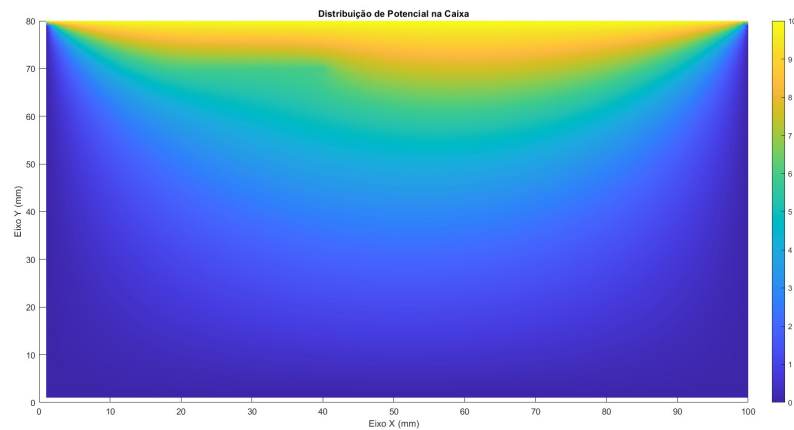
63
64 % Cálculo do potencial exterior a partir da distribuição de carga
65 for i = 1:size(U, 1)
66     for j = 1:size(U, 2)
67         r = sqrt((X - i*dx).^2 + (Y - j*dy).^2);
68         V_exterior = V_exterior + rho(i, j) ./ (4 * pi * epi * r);
69     end
70 end
71
72 % Tratar singularidades
73 V_exterior(isinf(V_exterior)) = NaN;
74
75 % Calculando o campo elétrico exterior
76 [Ex_exterior, Ey_exterior] = gradient(-V_exterior, dx, dy);
77
78 % Plotando o potencial exterior
79 figure;
80 surf(X, Y, V_exterior);
81 shading interp;
82 colorbar;
83 title('Distribuição de Potencial Exterior da Caixa');
84 xlabel('Eixo X (mm)');
85 ylabel('Eixo Y (mm)');
86 zlabel('Potencial (V)');
87
88 % Plotando o campo elétrico exterior
89 figure;
90 quiver(X, Y, Ex_exterior, Ey_exterior, 'k-', 'LineWidth', 1.5);
91 title('Campo Elétrico Exterior');
92 xlabel('Eixo X (mm)');
93 ylabel('Eixo Y (mm)');

```

Após colocarmos esse código no ambiente do MatLab, iremos analisar os resultados obtidos.

Primeiro iremos verificar se o potencial ficou certo, tendo em vista que a linha superior deve ter um potencial de exatamente 10V, enquanto a linha que vai de  $(x_1, y_1)$  até  $(x_2, y_2)$  deve ter um potencial de 6V, o que se mostra verdadeiro na imagem plotada:

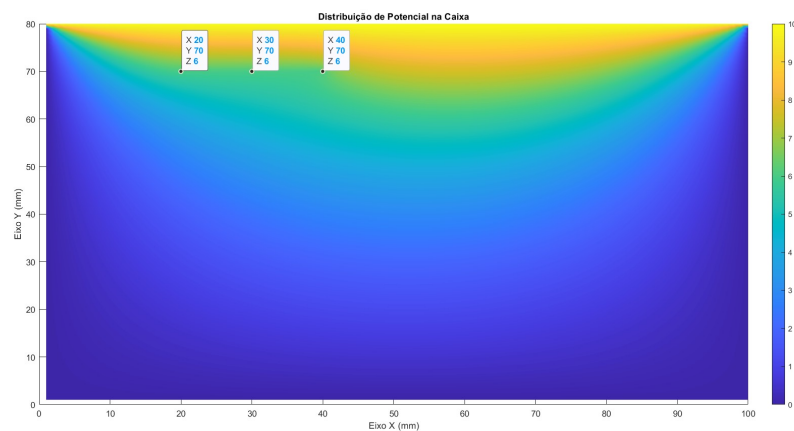
Figura 2: Potencial na Caixa



Fonte: Elaborado pelo autor.

A olho nu pode ser difícil de acreditar que dentro do espaço correto, o potencial é de 6V, contudo se formos analisar os valores plotados, conseguimos verificar isso, como é provado na imagem a seguir:

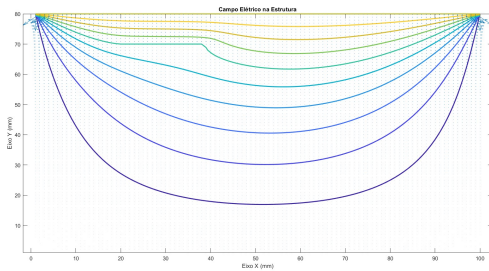
Figura 3: Potencial na Caixa com Valores



Fonte: Elaborado pelo autor.

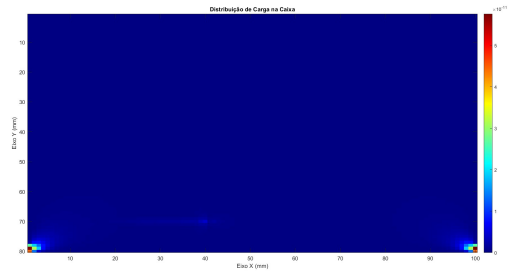
É possível então verificar que o código se mostrou eficaz em realizar a iteração para calcular o potencial ao longo da caixa ao mesmo tempo que mantém os potenciais fixos em  $V_0$  e  $V_1$ .

Após isso, usarmos o método das diferenças finitas para obter o potencial dentro da caixa, basta usarmos o  $-\nabla V$ , para assim obter o Campo Elétrico e logo após a distribuição de carga dentro da caixa.



(a) Campo Elétrico na Caixa

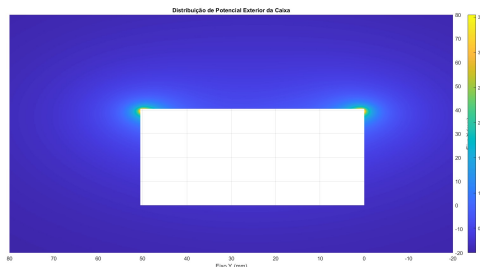
Fonte: Elaborado pelo autor.



(b) Carga na Caixa

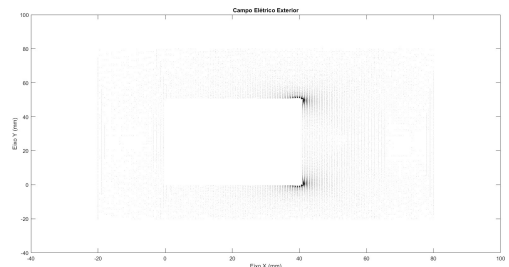
Fonte: Elaborado pelo autor.

Com isso temos todos os dados pedidos para o interior da caixa, com isso iremos partir para plotar o que é pedido do lado de fora da caixa.



(a) Potencial Fora da Caixa

Fonte: Elaborado pelo autor.



(b) Campo Elétrico Fora da Caixa

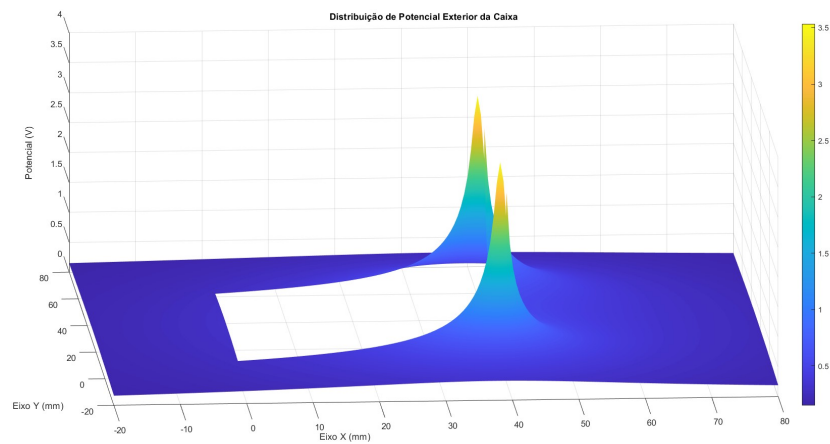
Fonte: Elaborado pelo autor.

Conseguimos analisar na distribuição de carga dentro da caixa que as acumulações ocorrem nas extremidades dos fios, tanto no no da parte superior da caixa quanto na parte interna interna dela.

Além disso, é possível perceber que o fio interior influencia no potencial do lado de fora da caixa, conseguimos ver isso de uma maneira mais clara na seguinte imagem.

Com isso finalizamos a análise do Método das Diferenças Finitas usando o iterativo

Figura 6: Potencial Fora da Caixa 3D



Fonte: Elaborado pelo autor.

## Método das Diferenças Finitas da Matriz Banda

Temos o seguinte código:

```
1 Nx=100; % Número de pontos na direção x
2 Ny=100; % Número de pontos na direção y
3 Ngrid=Nx*Ny;
4 dx=1; % resolução da grade
5 dy=1;
6
7 V=zeros(Nx,Ny); % Potencial inicial em todos os pontos
8
9 % Definindo as condições de contorno
10 V(1,:)=0;
11 V(:,1)=0;
12 V(:,end)=0;
13 V(end,:)= -10;
14
15 % Definindo os pontos da linha de potencial
16 x1 = 20; y1 = 87.5;
17 x2 = 40; y2 = 87.5;
18 numPoints = max(abs(x2-x1), abs(y2-y1)); % Número de pontos na linha
19 xLine = round(linspace(x1, x2, numPoints));
20 yLine = round(linspace(y1, y2, numPoints));
21
```



```

22 V=V'; % Transposição para trabalhar com a indexação correta
23 Vi=V(:); % Condição inicial em forma de vetor
24
25 % Formando a Matriz Laplaciana
26 neg_one=-1.*ones(Ngrid,1);
27 pos_one=1.*ones(Ngrid,1);
28 Lap=spdiags([pos_one pos_one 4.*neg_one pos_one pos_one], [-Nx -1 0 1 Nx
    ], Ngrid, Ngrid);
29
30 % Aplicando as condições de contorno de Dirichlet
31 C=spdiags(Lap,1);
32 for i=1:(Nx-1)
33     C(i*Nx+1)=0;
34 end
35 Lap=spdiags(C,1,Lap);
36 C=spdiags(Lap,-1);
37 for i=1:(Nx-1)
38     C(i*Nx)=0;
39 end
40 Lap=spdiags(C,-1,Lap); % Matriz Laplaciana
41
42 % Definindo a linha de potencial
43 for i = 1:numPoints
44     idx = (yLine(i)-1)*Nx + xLine(i); % ndice linear correspondente
45     Lap(idx, :) = 0; % Zera a linha na matriz Laplaciana
46     Lap(idx, idx) = 1; % Define o coeficiente diagonal para 1
47     Vi(idx) = 6; % Define o valor do potencial (30V)
48 end
49
50 % Resolver o sistema linear
51 Vf=(Lap\Vi); % Potencial do capacitor
52 potencial=reshape(Vf,Nx,Ny)'; % conversão do vetor de potencial para
    matriz
53
54 %Plotando o Resultado Correto
55 surf(potencial);shading interp; colorbar;
56 xlabel('Eixo X (mm)');

```

```

57 ylabel('Eixo Y (mm)');
58 zlabel('Potencial (V)');
59 title('Distribuição de Potencial na Caixa');
60 %%
61 [Ey, Ex] = gradient(-potencial, dx, dy); % O MATLAB retorna Ey antes de
      Ex
62
63 figure('Color','w');
64 quiver(Ex, Ey, 'AutoScaleFactor', 4); % Aumentar o tamanho dos vetores
65 axis equal tight;
66 title('Campo Elétrico dentro da caixa','fontsize',14);
67 xlabel('X','fontsize',14);
68 ylabel('Y','fontsize',14);
69 set(gca, 'FontSize', 14);
70 %%
71
72 % Constante de permissividade do vácuo
73 epsilon0 = 8.854e-12;
74
75 % Calculando o campo elétrico normal nas arestas
76 % Note que você precisa extrair a componente normal do campo elétrico
77 % nas arestas e na linha interna. O método exato dependerá da orientação
78 % de cada aresta e da linha.
79
80 % Para as arestas verticais (esquerda e direita)
81 rho_s_left = epsilon0 * abs(Ex(:,1));
82 rho_s_right = epsilon0 * abs(Ex(:,end));
83
84 % Para as arestas horizontais (superior e inferior)
85 rho_s_top = epsilon0 * abs(Ey(1,:));
86 rho_s_bottom = epsilon0 * abs(Ey(end,:));
87
88 % Para a linha de potencial interna
89 % Você precisa calcular a componente normal do campo elétrico
90 % ao longo dessa linha. O cálculo exato dependerá da orientação da linha
      .
91 rho_s_line = epsilon0 * abs(Ex(20:40,70));

```

```

92
93 % Agora você tem a distribuição de carga nas arestas e na linha interna
94 % Você pode visualizar ou analisar esses dados conforme necessário
95
96
97 % Crie uma matriz de zeros para a densidade de carga
98 rho = zeros(Ny, Nx);
99
100 % Atribua os valores calculados de rho_s às bordas correspondentes
101 rho(1,:) = rho_s_top;          % Aresta superior
102 rho(end,:) = rho_s_bottom;    % Aresta inferior
103 rho(:,1) = rho_s_left;        % Aresta esquerda
104 rho(:,end) = rho_s_right;     % Aresta direita
105
106 % Agora atribua os valores de rho_s_line à linha interna
107 for i = 1:numPoints
108     rho(yLine(i), xLine(i)) = rho_s_line(i);
109 end
110
111 % Plotando a densidade de carga superficial com surf
112 figure;
113 surf(rho);
114 shading interp; % Para um visual mais suave sem linhas de grade
115 title('Distribuição de Carga Superficial');
116 xlabel('X');
117 ylabel('Y');
118 zlabel('Densidade de Carga (C/m^2)');
119 colorbar; % Adiciona uma barra de cores para
120 figure;
121 imagesc(rho);
122 colormap('jet');
123 colorbar;
124 title('Distribuição de Carga a caixa');
125 xlabel('Coordenada X');
126 ylabel('Coordenada Y');
127 %%
128 epsilon0 = 8.854e-12; % Permissividade do vácuo

```

```

129
130 % Define a região de interesse
131 x_range = [-50, 150]; % Limites em x
132 y_range = [-50, 150]; % Limites em y
133
134 % Cria uma grade para calcular o potencial
135 [X, Y] = meshgrid(min(x_range):dx:max(x_range), min(y_range):dy:max(
    y_range));
136 V = zeros(size(X)); % Inicializa a matriz de potencial
137
138 % Cálculo do potencial a partir da distribuição de carga
139 for i = 1:Nx
140     for j = 1:Ny
141         r = sqrt((X - i*dx).^2 + (Y - j*dy).^2);
142         V = V + rho(i, j) ./ (4 * pi * epsilon0 * r);
143     end
144 end
145
146 % Tratar singularidades
147 V(isinf(V)) = NaN;
148
149 % Calculando o campo elétrico
150 [Ex, Ey] = gradient(-V, dx, dy);
151
152 % Plotando o potencial
153 figure;
154 surf(X, Y, V);
155 shading interp;
156 colorbar;
157 title('Distribuição de Potencial');
158 xlabel('x');
159 ylabel('y');
160 zlabel('Potencial (V)');
161
162 % Plotando o campo elétrico
163 figure;
164 quiver(X, Y, Ex, Ey, 'k-', 'LineWidth', 1.5);

```

```

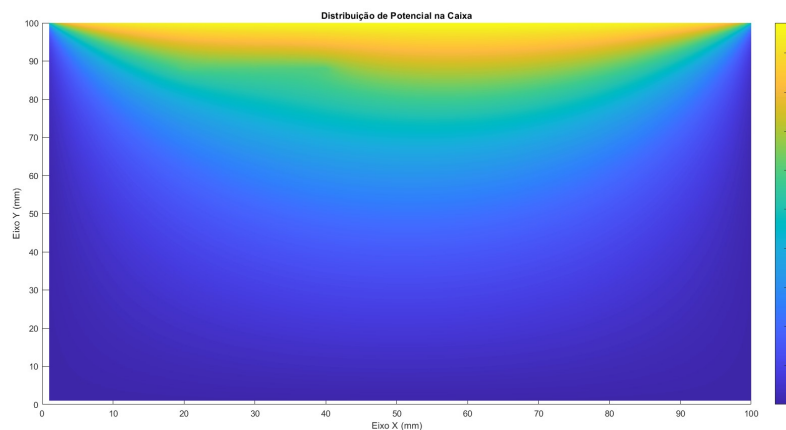
165 title('Campo Elétrico');
166 xlabel('x');
167 ylabel('y');

```

Nesse método, confesso que foi bem mais difícil a análise e implementação do código. Isso ocorreu não somente pela dificuldade do método em si, mas porque o código anterior foi usado na tarefa 4.

Nesse código eu repeti alguns processos do código iterativo, onde eu defini as condições de contorno dada pelo professor. Após isso, utilizo o método das diferenças finitas, o código constrói uma matriz Laplaciana para modelar o operador Laplaciano na grade. As condições de contorno de Dirichlet são aplicadas, e um sistema linear é resolvido para obter a distribuição final do potencial. Por fim, o resultado é visualizado como um mapa de calor tridimensional, mostrando a variação do potencial elétrico na área especificada.

Figura 7: Potencial na Caixa



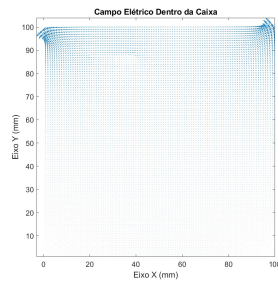
Fonte: Elaborado pelo autor.

Quando analisamos essa distribuição do potencial, conseguimos inferir que ela está semelhante a distribuição obtida usando o método iterativo, mostrando assim o sucesso na aplicação.

Com o potencial, conseguimos obter o restante dos valores. Obtemos o campo elétrico a partir de  $-\nabla V$ , e para ter a distribuição de carga, conseguimos  $\rho = E\xi$ .

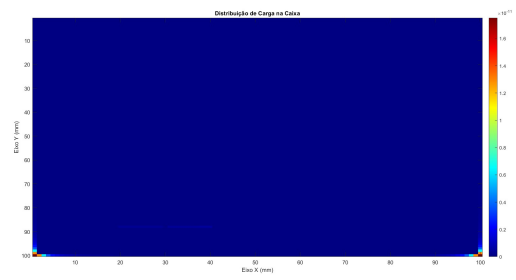
Após realizarmos esse processo no código, temos então as próximas imagens:

Conseguimos novamente perceber um acúmulo de carga nas bordas dos dois fios e no restante da caixa é praticamente 0.



(a) Campo ELétrico na Caixa

Fonte: Elaborado pelo autor.

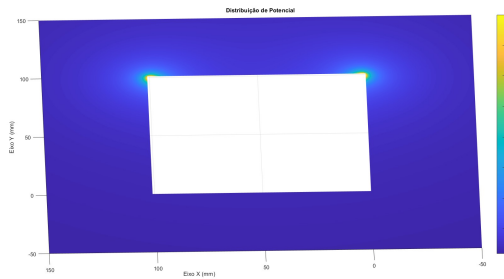


(b) Distribuição de Carga na Caixa

Fonte: Elaborado pelo autor.

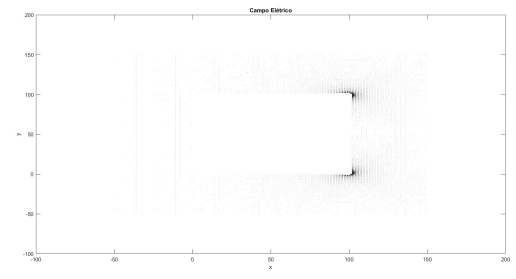
Após isso eu usei o mesmo código do método iterativo, para calcular o potencial e campo elétrico fora da caixa. Fiz isso por causa que se já temos  $\rho$ , então o objetivo da Matriz Banda já foi cumprido.

Quando fazemos isso, conseguimos as imagens a seguir.



(a) Potencial Elétrico Fora da Caixa

Fonte: Elaborado pelo autor.



(b) Campo Elétrico Fora da Caixa

Fonte: Elaborado pelo autor.

## Conclusão

Após comparar os métodos da matriz de banda e o iterativo, observamos diferenças notáveis. O método da matriz de banda, que converge para o valor exato à medida que o número de iterações aumenta (é como se fosse o método iterativo que tende ao infinito), mostrou-se mais preciso em calcular o potencial dentro da caixa. Essa precisão se reflete de forma acumulativa, impactando significativamente a distribuição do campo elétrico e a densidade de carga ( $\rho$ ), que variam consideravelmente entre os dois métodos. Devido a essa precisão elevada, o método da matriz de banda resulta em uma distribuição do potencial e do campo elétrico fora da caixa muito mais precisa e bem definida.

A implementação do método iterativo foi relativamente simples, aproveitando minha experiência anterior a tarefa sobre Método das Diferenças Finitas. Adaptei esse conhecimento para incorporar uma linha de potencial elétrico dentro da caixa, atendendo às dimensões requeridas, o que me permitiu plotar com sucesso as informações necessárias.

Em resumo, os resultados alcançados destacam a dualidade dos métodos computacionais: enquanto métodos mais simples podem ser irregulares em precisão, aqueles mais complexos e desafiadores, como a matriz de banda, tendem a oferecer resultados mais precisos, sendo comparáveis em eficácia ao método dos elementos finitos em termos de acurácia.

Contudo, vale lembrar que dependendo do objetivo de usar esse método, talvez não seja tão necessário a utilização da Matriz Banda devido a sua complexidade.